

УДК 535.515

## ПОЛОСЫ ТАЛБОТА ОТ ДВОЯКОПРЕЛОМЛЯЮЩЕЙ ПЛАСТИНКИ

Амстиславский Я. Е.

Анализируются свойства ступенчатой пластинки как спектрального прибора и свойства системы, состоящей из ступенчатой пластинки и прибора спектральной развертки, при антипараллельном их расположении. Доказывается, что замена в традиционной схеме получения полос Талбота изотропной прозрачной пластинки двоякотрепломляющей кристаллической пластинкой приводит к появление биений контрастности полос Талбота; спектральная частота этих биений зависит от силы двойного лучепреломления пластинки. Явление может быть использовано для измерения величины  $\Delta n = (n_e - n_0) - d(n_e - n_0)/d\lambda$ .

В данной работе обсуждаются особенности формирования полос Талбота ступенчатой пластинкой, обладающей двойным лучепреломлением. В литературе, посвященной полосам Талбота [1-5], этот случай не рассматривается. Вместе с тем анализ вопроса приводит к выводу о возможности использования закономерностей явления в рефрактометрии. Обсуждение этих возможностей и является целью нижеизложенного рассмотрения.

Под ступенчатой пластинкой будем понимать простейшую одноступенчатую фазовую решетку, состоящую из  $N=2$  элементов — слоя прозрачного плотного вещества и смежного с ним слоя воздуха — шириной  $a$  и толщиной  $t$  каждый с показателями преломления  $n_1=n$  и  $n_2=1$  соответственно. При введении такой ступенчатой пластинки в коллимированный световой пучок в силу дифракции на прозрачном элементе шириной  $a$  происходит дифракционное уклонение излучения и перераспределение его в пространстве, выражаемое известным соотношением:  $I_\Psi = I_0 (\sin u/u)^2$ , где  $u=\pi a \sin \Psi/\lambda$ , а  $\Psi$  — угол дифракции. Подавляющая часть этого излучения распределяется в области главного максимума, для которой  $|\Psi| < \lambda/a$ . Пренебрегая влиянием слабых вторичных максимумов, ограничим область дифракции угловым интервалом  $\Delta\Psi = 2\lambda/a$ . Перекрытие пучков, дифрагирующих от соседних ступеней пластинки, приводит к формированию в области  $\Delta\Psi$  широких максимумов двухлучевой интерференции, каждый из которых имеет угловую ширину  $\delta_1\Psi = \lambda/a = \Delta\Psi/2$ . В монохроматическом свете в области главного максимума в общем случае укладываются два интерференционных максимума соседних порядков, имеющих неодинаковую интенсивность и разделенных угловым расстоянием  $\delta\Psi = \delta_1\Psi = \lambda/a$  [6]. Их угловое положение  $\Psi$  зависит от  $\lambda$  и определяется соотношением

$$t(n-1) + a \sin \Psi = K\lambda, \quad (1)$$

где  $K$  — целочисленный порядок интерференции. В немонохроматическом свете одновременно формируется непрерывная совокупность интерференционных максимумов, которые в зависимости от  $\lambda$  занимают различное положение в области  $\Delta\Psi$ , причем некоторый спектральный интервал  $\Delta\lambda_K$  в  $K$ -ом порядке полностью заполняет эту область. Назовем интервал  $\Delta\lambda_K$  элементарным спектром  $K$ -го порядка. Центральная для элементарного спектра линия с длиной волны  $\lambda_K^0$  создает интерференционный максимум без уклонения в пространстве ( $\Psi=0$ ). На основании (1) имеем

$$\lambda_K^0 = t \frac{(n-1)}{K}. \quad (2)$$

Таким образом, ступенчатая пластинка представляет собой своеобразный спектральный прибор, формирующий элементарный спектр широких линий (полос двухлучевой интерференции). По отношению к элементарному спектру ступенчатая пластинка ведет себя как прибор прямого зрения с угловой дисперсией  $D_\Psi$ . Дифференцируя (1) по  $\lambda$  при  $K=\text{const}$ , получим в области  $\Psi=0$  в полном соответствии с [6-8]

$$D_\Psi = \frac{d\Psi}{d\lambda} = \frac{t}{a} \left[ \frac{n-1}{\lambda} - \frac{d(n-1)}{d\lambda} \right]. \quad (3)$$

Величину  $\Delta\lambda_K$  найдем по формуле

$$\Delta\lambda_K = \frac{\Delta\Psi}{D_\Psi} = 2\lambda/t \left[ \frac{n-1}{\lambda} - \frac{d(n-1)}{d\lambda} \right]. \quad (4)$$

Спектральная область дисперсии ступенчатой пластинки вдвое меньше и составляет

$$\delta\lambda_K = \frac{\delta\Psi}{D_\Psi} = \lambda/t \left[ \frac{n-1}{\lambda} - \frac{d(n-1)}{d\lambda} \right]. \quad (5)$$

При освещении ступенчатой пластинки немонохроматическим светом, широкий спектр которого простирается от  $\lambda_1$  до  $\lambda_2$ , в области главного максимума имеет место полное пространственное перекрывание множества элементарных спектров. Общее их число определяется набором целочисленных значений  $K$ , удовлетворяющих (2) в интервале от  $\lambda_1$  до  $\lambda_2$ .

Перейдем к рассмотрению свойств системы, состоящей из ступенчатой пластины и прибора спектральной развертки (призмы или дифракционной решетки) с большой спектральной областью дисперсии  $\delta'\lambda$  и угловой дисперсией  $D'_\Psi$ . Действие такой системы существенно различно в зависимости от взаимной ориентации приборов. Формирование полос Талбота возможно, когда  $D_\Psi$  и  $D'_\Psi$  близки по величине и противоположны по знаку (антипараллельное расположение). При этом происходит пространственное разделение элементарных спектров, обусловленное двумя причинами: под влиянием прибора развертки спектры  $\Delta\lambda_K$  смещаются в одном направлении, но в разной степени и потому расходятся в пространстве; в силу частичной компенсации дисперсий элементарные спектры в ходе смещения деформируются — сжимаются к  $\lambda_K^0$ . Эффект выражен наиболее сильно при полной компенсации дисперсий, т. е. при соблюдении условия

$$D'_\Psi = -D_\Psi. \quad (6)$$

В этом случае спектры  $\Delta\lambda_K$  стягиваются до монохроматической (интерференционной) ширины центральной линии  $\lambda_K^0$ , т. е. сужаются ровно вдвое, и пространственное перекрывание соседних спектров полностью снимается, несмотря на «половинное» перекрывание их спектрального состава. Формируется система своеобразных контрастных светлых полос в непрерывном спектре, разделенных темными полосами Талбота. Необычность такой спектральной картины состоит в следующем: а) каждая светлая полоса, представляя собой ахроматическую в пределах спектрального интервала  $\Delta\lambda_K$  полосу двухлучевой интерференции, занимает участок спектра протяженностью  $\delta\lambda_K = \Delta\lambda_K/2$ ; б) наибольший вклад в состав излучения, распределенного в области светлой полосы  $K$ -го порядка, дают спектральные составляющие, близкие к  $\lambda_K^0$ , имеющие большую интенсивность. Вклад составляющих, близких к краям элементарного спектра  $\lambda_K^0 \pm \delta\lambda_K$ , мал в силу малости интенсивности последних; эти составляющие дают максимальный вклад в состав излучения соседних полос  $K \pm 1$  порядка; в) в пределах данной  $K$ -й полосы спектральный состав (цвет) излучения остается неизменным, различные участки полосы отличаются только по яркости; г) при переходе к соседней полосе цвет изменяется скачкообразно; д) несмотря на пространственное разделение и разный цвет, соседние полосы имеют «наполовину» одинаковый спектральный состав; е) полностью обновлены по спектральному составу полосы, отстоящие друг от друга не ближе чем через одну.

Рассмотренные особенности явления соответствуют условию (6). Ниже мы будем предполагать, что это условие соблюдается.

Введение в традиционную схему опыта ступенчатой пластинки с двоякотреплением свойствами вносит в рассмотренную картину немаловажные изменения. В естественном свете обыкновенная (*o*) и необыкновенная (*e*) составляющие освещдающего пучка формируют каждая свою систему полос несколько различной спектральной ширины  $\delta\lambda$  (5). Их наложение обусловливает своеобразный «нонусный» эффект: в какой-то части спектра светлая полоса *K*-го порядка *o*-системы перекрывается со светлой полосой (*K+M*)-го порядка *e*-системы ( $\Delta K=M$ ), и здесь возникает полоса высокой контрастности, тогда как в какой-то соседней части спектра светлая полоса одной системы перекрывается с темной полосой другой ( $\Delta K=M+1/2=P$ ) и картина размывается. Эти биения контрастности можно использовать для оценки рефрактометрического коэффициента силы двойного лучепреломления пластинки  $\Delta n=(n_e-n_0)-\lambda \frac{d(n_e-n_0)}{d\lambda}$ .

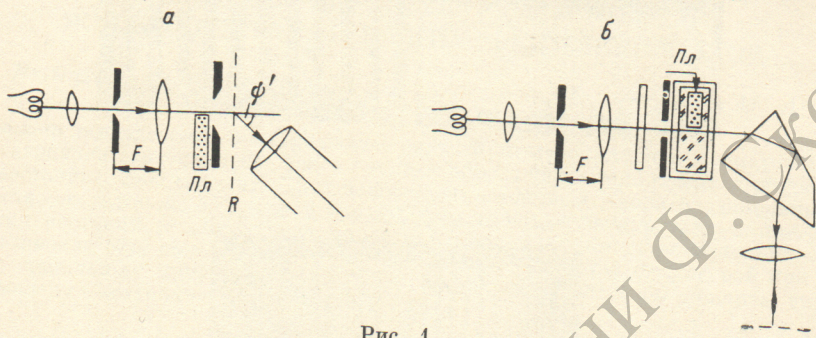


Рис. 1.

Пусть некоторый минимум контрастности соответствует длине волны  $\lambda_P$ . Тогда для  $\lambda_P$  выполняются два условия:  $t(n_0 - 1) = K\lambda_P$  и  $t(n_e - 1) = (K + P)\lambda_P$ . Отсюда

$$t(n_e - n_0) = P\lambda_{P*} \quad (7)$$

Дифференцируя (7) по  $\lambda$ , будем иметь

$$t \frac{d(n_e - n_0)}{d\lambda} = t \frac{n_e - n_0}{\lambda} + \lambda \frac{dP}{d\lambda}. \quad (8)$$

При переходе к соседней области минимальной контрастности ( $\lambda = \lambda_{P-1} > \lambda_P$ ) число  $P$  изменяется на  $(-1)$ . После замены в (8)  $dP$  на  $(-1)$  и  $d\lambda$  на  $\lambda_{P-1} - \lambda_P$  получим искомый результат в виде

$$\Delta n_{\bar{\lambda}} = \left[ (n_e - n_0) - \lambda \frac{d(n_e - n_0)}{d\lambda} \right]_{\bar{\lambda}} = \frac{\lambda_P \lambda_{P-1}}{t(\lambda_{P-1} - \lambda_P)}, \quad (9)$$

где  $\bar{\lambda} = \frac{(\lambda_{P-1} - \lambda_P)}{2}$ .

В измерительном плане рассмотренный метод сходен с известным поляризационным методом определения  $\Delta n_{\bar{\lambda}}$  посредством измерения спектрального расстояния  $\lambda_{P-1} - \lambda_P$  между соседними темными полосами гашения, наблюдаемыми при введении в спектральный прибор исследуемой двоякотреплющей пластинки, установленной между поляризатором и анализатором [9]. Хотя этот поляризационный метод не имеет никакого отношения к полосам Талбота ■ отличается от рассмотренного как по природе явления, так и по способу его наблюдения, расчетная формула в том и другом случаях имеет один и тот же вид, а измеряемые спектральные расстояния — одну и ту же величину.

Экспериментальная установка, использованная для получения спектральной интерференционной картины переменной контрастности, включала плоско-параллельную пластинку кристаллического кварца  $\Pi_l$  толщиной  $t=1.09$  мм, выпиленную параллельно оптической оси (рис. 1, a). Закрепленная в специальной оправке, эта пластинка прикрывала половину регулируемой раздвижной щели с симметричным перемещением ножей ( $2a=0-4$  мм) и вместе с ней обращалась двоякотреплющую ступенчатую пластинку с плавно регулируемой угловой дисперсией  $D_{\Psi}$ . При  $a=0.8$  мм ( $2a=1.6$  мм) для  $\lambda=546$  нм на основании табличных данных [10] имеем по (3)  $D_{\Psi}=1.45 \cdot 10^6$  1/m и для достижения

высокого качества полос Талбота в области максимальной контрастности картины необходимо в соответствии с условием (6) использовать прибор развертки с достаточно большой угловой дисперсией  $D_\Psi$ . Роль такого прибора выполняла дифракционная решетка  $R$  с периодом  $C=1.66$  мкм ( $N_0=600$  1/мм,  $K'=1, 2$ ). Исходя из известной формулы  $D_\Psi=K'/C \cos \Psi'=K'/C [1-(K'\lambda/C)^2]^{1/2}$  имеем для  $\lambda=546$  нм в спектре второго порядка  $D_\Psi=1.5 \cdot 10^6$  1/м. На спектрограммах рис. 2, а, иллюстрирующих явление, представлены два небольших участка разной контрастности соответственно в ближней красной и оранжевой частях спектральной картины ( $K'=2$ ,  $a=0.8$  мм).

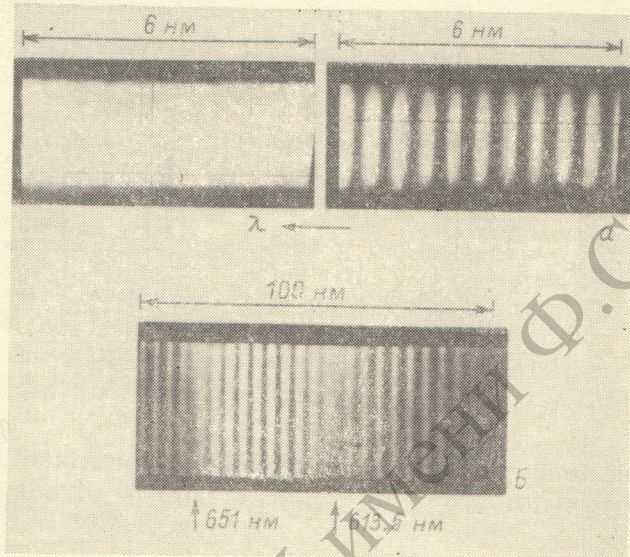


Рис. 2.

В измерительной практике может оказаться удобным перевести наблюдение явления в область меньших угловых дисперсий. Такого результата можно добиться, например, помещая двоякпреломляющую пластинку  $Pl$  в изотропную прозрачную жидкость подлежащей оптической плотности  $n^o$ . При этом в формулы (1)–(5) вместо сомножителя  $(n-1)$  войдет значительно меньший по величине сомножитель  $(n-n^o)$ , что приведет к уменьшению  $D_\Psi$  (3) и увеличению  $\delta\lambda_k$  (5), тогда как формулы (7)–(9) останутся без изменения. Опыты такого рода были выполнены на однопризменном спектрометре УМ-2. Пластинка  $Pl$  помещалась в кювету, наполненную глицерином и прикрытую непрозрачным экраном с прорезью шириной  $2a=2$  мм. Спектрограмма рис. 2, б, снятая при диагональной ориентации поляризатора  $P$  и температуре жидкости  $t=20$  °С, иллюстрирует явление. Областям минимальной контрастности на рис. 2, б соответствуют длины волн  $\lambda_P=613.5$  нм и  $\lambda_{P-1}=651$  нм ( $\bar{\lambda}=630$  нм). Отсюда на основании (9) и в хорошем соответствии с табличными данными [10] имеем  $\Delta n_{\bar{\lambda}}=9.77 \cdot 10^{-3}$ .

#### Литература

- [1] Longhurst R. S. Geometrical and physical optics. Longman group Limited. London, 1973, p. 125–127.
- [2] Piddock F. B. — JOSA, 1947, v. 37, N 1, p. 55–58.
- [3] Башкатов М. Н. — Опт. и спектр., 1958, т. 4, в. 6, с. 791.
- [4] King A. L., Davis R. — Am. J. Phys., 1971, v. 39, p. 1195–1198.
- [5] Амстиславский Я. Е. — Опт. и спектр., 1975, т. 39, в. 1, с. 174–179.
- [6] Королев Ф. А. Спектроскопия высокой разрешающей силы. М., 1953, с. 20–30.
- [7] Толанский С. Спектроскопия высокой разрешающей силы. М., 1955, с. 255.
- [8] Зайдель А. Н., Островская Г. В., Островский Ю. И. Техника и практика спектроскопии. М., 1976, с. 162.
- [9] Вустер У. Практическое руководство по кристаллофизике. М., 1958, с. 19–25.
- [10] Таблицы физических величин / Под ред. И. К. Кикони. М., 1976, с. 636; Краткий физико-технический справочник / Под ред. К. П. Яковлева. М., 1960, с. 372.

Поступило в Редакцию 4 февраля 1983 г.